

斜張橋の静的解析について

大阪大学工学部 正員 前田幸雄
 大阪大学工学部 正員 ○林正
 大阪大学工学部 学生員 大森邦雄

1. まえがき

本文では、実用上最も一般的な任意形式の斜張橋の計算式を与えた。特に、主桁にアンカーするケーブル位置を中立軸より偏心させ、偏心により主桁に与える影響を考慮した。また、式を無次元化し、パラメータ解析により特定の斜張橋の静的弾性特性を追究した。

2. 構造解析

(1) 基本形式 斜張橋を塔と桁との結合状態によって2種類に大別し、それをさらに塔脚における塔の支持条件と、塔上におけるケーブルの定着条件によって2分類すると、実用上次の8型式が考えられる。

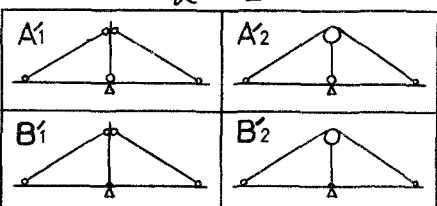
表-1 基本形式

塔脚 塔と桁の結合 ケーブル	Pin		Fix	
	Fix	Slide	Fix	Slide
Free (A-Type)	A ₁	A ₂	A ₃	A ₄
Fix (B-Type)	B ₁	B ₂	B ₃	B ₄

注。 A₂-Type は不安定構造物なので、この型式を単独で用いることは出来ない。

上に掲げた型式の他に、それらを変形した表-2の如き型式も考えられる。これらはいづれも元の型式において、塔の主桁より下の部分を除いたものであるから、計算式においても塔の下部の長さを零にすればよい。

表-2



(2) 解析上の仮定 斜張橋の解析には、基本系と(2)連続梁をとる。変形法により解析を行なうが、その際次の仮定を用いた。

① 斜張橋の変形によるケーブルの傾斜角の変化は無視する。 ② ケーブルのSagによる影響は無視する。 ③ ケーブルは主桁の中立軸より偏心してアンカーされるものとする。したがって、ケーブルの水平分力による付加曲げモーメントは考慮する。

④ 塔は曲げ剛性が一定で断面を有するものとする。 ⑤ 主桁および塔の軸力による伸縮は無視する。 ⑥ B-Type の塔を複数有する斜張橋では、下部構造が不静定ランゲン形式となるので、本文では取り扱わないことにする。したがって、斜張橋はB-Typeの塔を2基以上有しないものとするが、B'-Typeはこの限りではない。

(3) 記号 斜張橋は任意な形式の基の塔と、n本のケーブルを有するものとする。

第t塔は、第l番目から第m番目までの $(m-l+1)$ 本のケーブルを有し、塔頂より下に向って順次番号を付けていく。

(4) 基礎方程式 第t塔に着目して導く。

① 变形様式 B-Type の塔を有する斜張橋では、

塔の変形により主桁は ΔL_t だけ水平移動する (B' -Type では移動しない)。

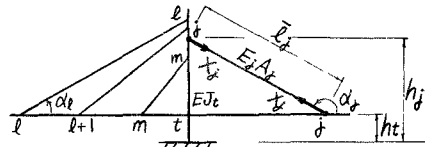


図 - 1

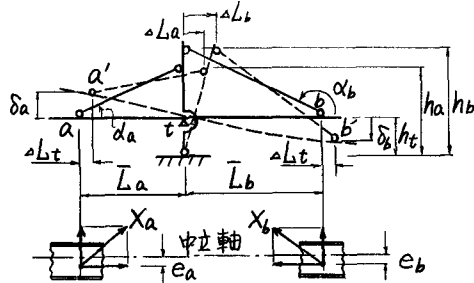


図 - 2 A1-Type

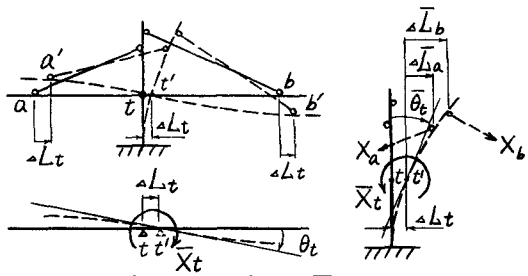


図 - 3 B3-Type

A_1, A_2 -Type では、塔の変形は rocking だけによるものとし、曲げ変形は考慮しない。

A_3, A_4 -Type では、塔は曲げ変形を受ける。

B-Type では、塔は曲げ変形 (B_3, B_4) とさうに rocking (B_1, B_2) により変形する。ケーブル位置の偏心による附加曲げモーメントは

$$M_i = -e_i X_i \cos \alpha_i \quad (i=1, 2, \dots, n) \quad (1)$$

ケーブルの伸びは

$$\Delta l_i = \frac{\bar{l}_i}{E_i A_i} X_i = f_i X_i \quad (i=1, 2, \dots, n) \quad (2)$$

② 線形学的条件式

$$(a) \text{Cable-Fix} : \Delta l_i = \delta_i \sin \alpha_i + \Delta L_i \cos \alpha_i \quad (3)$$

$$(b) \text{Cable-Slide} : \Delta l_a + \Delta l_b = \delta_a \sin \alpha_a + \delta_b \sin \alpha_b + \Delta L_a (\cos \alpha_a + \cos \alpha_b) \quad (4)$$

$$\text{さらに, } X_a = X_b \quad (5)$$

ここで、 ΔL_i は塔上のケーブル定着点の主桁に対する相対水平移動量を表す。すなわち

$$\Delta L_i = \bar{L}_i - \Delta l_t \quad (6)$$

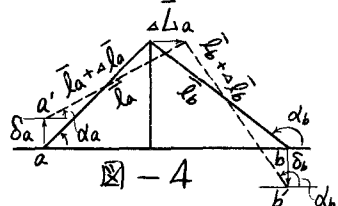


図 - 4

③ 主桁の変形量 主桁の第k点の撓みおよび撓み角は

$$\delta_k = \delta_{ko} - \sum_{i=1}^n (\gamma_{ki} \sin \alpha_i + e_i \zeta_{ki} \cos \alpha_i) X_i + \sum_{g=1}^s \zeta_{kg} \bar{X}_g \quad (?)$$

$$\theta_k = \theta_{ko} - \sum_{i=1}^n (\phi_{ki} \sin \alpha_i + e_i \psi_{ki} \cos \alpha_i) X_i + \sum_{g=1}^s \psi_{kg} \bar{X}_g \quad (8)$$

ここで、 δ_{ko} : 外力荷重による基本連続桁の第k点の撓み

θ_{ko} : 外力荷重による基本連続桁の第k点の撓み角

γ_{ki} : 単位集中荷重 $P_i = 1$ による基本連続桁の第k点の撓み

ϕ_{ki} : 単位集中荷重 $P_i = 1$ による基本連続桁の第k点の撓み角

ζ_{ki} : 単位曲げモーメント $M_i = 1$ による基本連続桁の第k点の撓み

ψ_{ki} : 単位曲げモーメント $M_i = 1$ による基本連続桁の第k点の撓み角

s : 斜張橋が有するB-Type の塔の数で、少くとも $(s-1)$ 基は B' -Type である。

④ 塔の平衡方程式

(a) A₁, A₂-Type 塔の変形に関する仮定から、第7塔に因る

$$\Delta L_j/h_j = \Delta L_e/h_e \quad (j = l+1, \dots, m) \quad (9)$$

また、塔脚における力の釣合いから。

$$\sum_{j=l}^m h_j X_j \cos \alpha_j = 0 \quad (10)$$

(b) A₃, A₄-Type 塔は (m-l+1) 個の集中荷重を受け 3 片持梁と考えられるから。

$$\Delta L_j = -\frac{1}{6E_t J_t} \left[\sum_{k=l+1}^l h_k^2 (3h_k - h_j) X_k \cos \alpha_k + \sum_{k=j+1}^m h_k^2 (3h_j - h_k) X_k \cos \alpha_k \right] \quad (j = l, \dots, m) \quad (11)$$

(c) B₁, B₂-Type 塔は曲げ変形とともに Rocking することにより。

$$\begin{aligned} \Delta L_j &= \frac{h_j}{h_e} \Delta L_e - \frac{1}{6h_e E_t J_t} \left[\sum_{k=l+1}^l h_k (h_e - h_k) (2h_j h_k - h_k^2 - h_j^2) X_k \cos \alpha_k + \sum_{k=j+1}^m h_k (h_e - h_k) (2h_e h_j - h_j^2 - h_k^2) X_k \cos \alpha_k \right. \\ &\quad \left. + (h_e - h_j) (2h_e h_j - 3h_e^2 - h_j^2) \bar{X}_t \right] \quad (j = l+1, \dots, m) \quad (12) \end{aligned}$$

$$\Delta L_t = \frac{h_t}{h_e} \Delta L_e - \frac{1}{6h_e E_t J_t} \left[\sum_{k=l+1}^l h_k (h_e - h_k) (2h_t h_k - h_k^2 - h_t^2) X_k \cos \alpha_k + 2h_t (h_e - h_t) (h_e - 2h_t) \bar{X}_t \right] \quad (13)$$

さらに、力の釣合条件から

$$\sum_{j=l}^m h_j X_j \cos \alpha_j + \bar{X}_t = 0 \quad (14)$$

(d) B₃, B₄-Type 第7塔の各点の水平移動量 ΔL_j は、図-3 を参照

$$\Delta L_j = -\frac{1}{6E_t J_t} \left[\sum_{k=l}^l h_k^2 (3h_k - h_j) X_k \cos \alpha_k + \sum_{k=j+1}^m h_k^2 (3h_j - h_k) X_k \cos \alpha_k + 3h_t (2h_j - h_t) \bar{X}_t \right] \quad (15)$$

$$\Delta L_t = -\frac{1}{6E_t J_t} \left[\sum_{k=l}^m h_k^2 (3h_k - h_t) X_k \cos \alpha_k + 3h_t^2 \bar{X}_t \right] \quad (j = l, \dots, m) \quad (16)$$

⑤ 刚結条件式(B-Type のみ) B-Type の塔では、塔と主桁とが剛結されているから。

$$\theta_t = \bar{\theta}_t \quad (17)$$

ここで、 $\bar{\theta}_t$ は各型式に応じ?

$$(a) B₁, B₂-Type : \bar{\theta}_t = \frac{L_t}{h_t} - \frac{1}{6h_e E_t J_t} \left[\sum_{k=l}^m (h_0 - h_k) (2h_e h_k - h_k^2 - 3h_t^2) X_k \cos \alpha_k + 2(3h_t^2 - 3h_e h_t + h_e^2) \bar{X}_t \right] \quad (18)$$

$$(b) B₃, B₄-Type : \bar{\theta}_t = -\frac{1}{2E_t J_t} \left[\sum_{k=l}^m h_k (2h_k - h_t) X_k \cos \alpha_k + 2h_t \bar{X}_t \right] \quad (19)$$

(5) 弹性方程式 基礎方程式より弾性方程式を導く際に、ケーブルの不静定張力 X_i の代りにその鏡直成分 V_i を用いる。すなわち

$$V_i = X_i \sin \alpha_i \quad (i = 1, 2, \dots, n) \quad (20)$$

斜張橋が n 本のケーブルを有し、塔は A-Type のみの場合には、弾性方程式は幾何学的条件式より高々元連立方程式となる。B-Type の塔が存在する場合には、さらに剛結条件式を加えなければならぬ。

いま、一例として第7塔が A₁-Type の場合には、第7塔に関する弾性方程式は次のようになる。
 $F_j V_j + \sum_{i=1}^n Y_{ji} V_i - \frac{L_t}{K_t} \sum_{k=l}^m \left(\frac{L_k}{F_k} \sum_{i=1}^n Y_{ki} V_i \right) - \sum_{g=1}^s \zeta_{jg} \bar{X}_g + \frac{L_t}{K_t} \sum_{k=l}^m \left(\frac{L_k}{F_k} \sum_{g=1}^s \zeta_{kg} \bar{X}_g \right) + \Delta L_t (\cot \alpha_j - \frac{L_t}{K_t} \sum_{k=l}^m \frac{L_k}{F_k} \cot \alpha_k) = \delta_{j0} - \frac{L_t}{K_t} \sum_{k=l}^m \frac{L_k}{F_k} \delta_{k0} \quad (j = l, \dots, m) \quad (21)$

ここで、

$$F_j = f_j / \sin^2 \alpha_j, L_j = h_j \cot \alpha_j, K_t = \sum_{k=l}^m L_k^2 / F_k, Y_{ji} = \gamma_{ji} + e_i \zeta_{ji} \cot \alpha_i \quad (22)$$

3. 静的弾性特性

斜張橋に生ずる力学的諸量は、その幾何学的な形状と剛性とに因する諸量に支配される。したがって、斜張橋の静的弾性特性を知るためにには、また得られた解に一般性を与えるためには、これらの量を無次元化し、パラメータとして導入することよい。

(a) 剛性に関するパラメータ

$$\gamma_t = E_a I_a / E_t J_t : \text{塔の曲げ剛性に関するパラメータ}$$

$$\chi_i = E_a I_a / l_0^2 E_c A_i : \text{ケーブルの断面積に関するパラメータ}$$

(b) 形状に関するパラメータ

$$\rho_i = h_i / l_0 : \text{ケーブルの塔上における取付位置に関するパラメータ}$$

$$\lambda_i = L_i / l_0 : \text{ケーブルの主桁上の取付位置に関するパラメータ}$$

$$\varepsilon_i = e_i / l_0 : \text{ケーブル取付位置の偏心量に関するパラメータ}$$

ここに、 $E_a I_a$ は主桁の曲げ剛性、 l_0 は主桁の全長である。この他に、連続梁のスパン比($n_f = l_f / l_0$)と、主桁の断面積に関するパラメータを用いる必要がある。

さて、パラメータ解析によって斜張橋の静的弾性特性を追究するためには、以上7つのパラメータを独立に変化させねばよいかわけであるが、実際に独立なパラメータの数は基本連続梁のスパン数、塔の数、ケーブルの本数により増えるので、これらの組合せは膨大な数になる。 γ と ρ とが与える影響の一例とて、図-5, 6 に示す A-I-1-Type の対称斜張橋について、曲げモーメントにおよぼす影響を調べてみた。

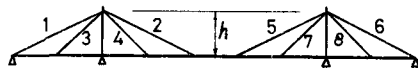


図-5 RADIAL TYPE



図-6 HARP TYPE

共通データ : $n_1 : n_2 : n_3 = 1.0 : 2.5 : 1.0$, $\lambda = 1/9$, $h/l_0 = 0.1$, $\varepsilon = 0$

Case 1: — Radial Type $\chi_i = 1.0 \times 10^{-4}$ ($i = 1, 2, 5, 6$), 2.0×10^{-4} ($i = 3, 4, 7, 8$)

Case 2: --- Radial Type $\chi_i = 0.2 \times 10^{-4}$ ($i = 1, 2, 5, 6$), 0.4×10^{-4} ($i = 3, 4, 7, 8$)

Case 3: --- Harp Type $\chi_i = 1.0 \times 10^{-4}$ ($i = 1, 2, 5, 6$), 2.0×10^{-4} ($i = 3, 4, 7, 8$)

図-7 中間支点の曲げモーメント影響線

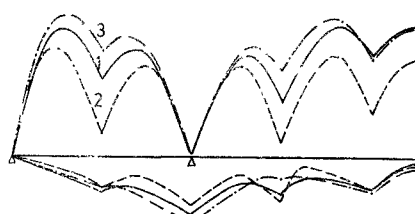


図-9 最大・最小曲げモーメント

尚、詳細なデータは当日発表する。

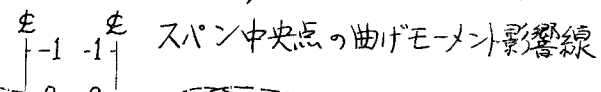


図-8

スパン中央点の曲げモーメント影響線

$x [Pl_0^2 \times 10^2]$

図-10

最大・最小曲げモーメント

$x [wl_0^3 \times 10^3]$

図-10

満載等分布荷重による曲げモーメント